

Treball final CSL

54894677W

5-5-2023

Estudi de les ressonàncies del cristall de quars

PAS 1: El conjunt sèrie $R_m - L_m - C_m$ té una impedància $Z_m(\omega) = R_m + j(L_m\omega - \frac{1}{C_m\omega})$. Podem observar que la funció $|Z_m|(\omega)$ té un únic mínim relatiu o, d'altra banda, que la part imaginària de $Z_m(\omega)$ es cancel·la per $\omega = \frac{1}{\sqrt{L_m C_m}}$. Sigui com sigui, s'arriba a la conclusió que el conjunt té una única freqüència de ressonància situada a $f_0 = \frac{1}{2\pi} \frac{1}{\sqrt{L_m C_m}}$.

PAS 2: Evaluem per casos la impedància del conjunt.

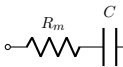
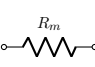
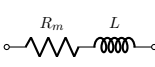
$f = f_0$: Com $Z_m = R_m$ el conjunt es pot substituir per un resistor.

$f < f_0$: Intuitivament, la impedància d'un condensador a freqüències baixes és més gran que la d'un inductor. Analíticament, si $\Im(Z_m) = L_m\omega - \frac{1}{C_m\omega}$ per una $\omega < \omega_0$, llavors $\frac{1}{C_m\omega} > \frac{1}{C_m\omega_0}$ i $L_m\omega < L_m\omega_0$ resultant en una part imaginària negativa. Podem aleshores substituir el conjunt per un resistor en sèrie amb un condensador.¹

$f > f_0$: Amb el mateix raonament que abans obtenim que la part imaginària es positiva. Per tant, podem substituir el conjunt per un resistor en sèrie amb un inductor.

¹ En sèrie la impedància es suma.

La impedància d'un condensador és $-j\frac{1}{C\omega}$ (part imaginària negativa). En paral·lel caldria un inductor.

	$f < f_0$	$f = f_0$	$f > f_0$
Circuits equivalents:			

Taula 1: Comportament elèctric del cristall de quars al voltant de la ressonància sèrie

PAS 3: El paral·lel C_e sí provoca la aparició d'una freqüència de ressonància adicional superior a la ressonància sèrie. En aquesta segona ressonància el conjunt té una impedància molt gran.

Per freqüències més baixes que f_0 el conjunt sèrie es pot substituir per un resistor i un condensador de valor indeterminat. Aquest últim conjunt però, en paral·lel amb un altre condensador no provoca la aparició de cap freqüència de ressonància². En canvi, per freqüències més altes que f_0 es té un bloc sèrie resistor-inductor en paral·lel amb un condensador. Aquesta última configuració té una freqüència de ressonància per $\frac{1}{\sqrt{LC_e}}$.

² La part imaginària de la impedància no es pot cancel·lar per cap $0 < \omega < \infty$.

El bloc $R - L$ en paral·lel amb C és més habitual. La resistència R_m és suficientment petita en relació a L com a per a tractarla

com la resistència interna d'un inductor no ideal. Així doncs podem reescriure el conjunt com a la figura 1. On R_p és $R_m Q_b^2$ i L_p és pràcticament L . En freqüència de ressonància aquest conjunt té una impedància real R_p . Com Q_b és molt gran aquesta impedància també ho serà.

Estudi analític de la resposta freqüencial del circuit de mesura

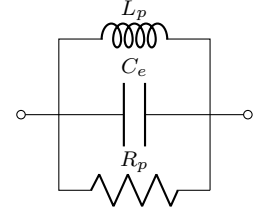


Figura 1: Circuit equivalent per excitacions amb freqüència superior a la ressonància sèrie

PAS 4: Apliquem anàlisi per nodes al circuit de la figura 2 i obtenim la següent equació.

$$V_o \left[\frac{1}{R_o} + \frac{1}{R_m + L_m s + \frac{1}{C_m s}} \right] = V_{in} \left[\frac{1}{R_m + L_m s + \frac{1}{C_m s}} \right]$$

$$H(s) = \frac{V_o(s)}{V_{in}(s)} = \frac{\frac{1}{R_m + L_m s + \frac{1}{C_m s}}}{\frac{1}{R_o} + \frac{1}{R_m + L_m s + \frac{1}{C_m s}}}$$

Després de normalitzar la funció de xarxa obtenim:

$$H(s) = \frac{R_o}{L_m} \cdot \frac{s}{s^2 + \frac{R_m + R_o}{L_m} s + \frac{1}{L_m C_m}}$$

Aquesta funció de xarxa clarament correspon a un filtre passabanda de segon ordre. De segon ordre perquè hi ha dos pols i passabanda perquè hi ha un zero per $s = 0$ i un altre per $s \rightarrow \infty$.

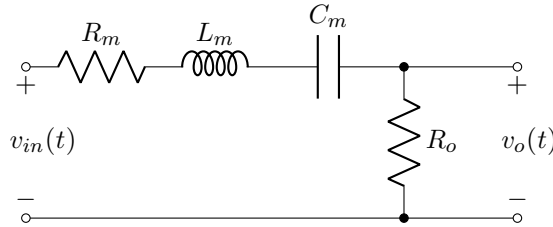


Figura 2: Esquema del circuit de mesura menyspreant C_e i eliminant el conjunt $v_g(t) - R_o$

PAS 5: Per esbrinar les característiques del filtre fem servir les fórmules deduides per un filtre passabanda de segon ordre genèric.

$$H(s) = \frac{R_o}{L_m} \cdot \frac{s}{s^2 + \frac{R_m + R_o}{L_m} s + \frac{1}{L_m C_m}} = k \cdot \frac{s}{s^2 + 2\zeta\omega_0 s + \omega_0^2}$$

Aleshores,

Paràmetre intermig	k	ω_0	ζ
Expressió	$\frac{R_o}{L_m}$	$\frac{1}{\sqrt{L_m C_m}}$	$\sqrt{\frac{C_m}{L_m}} \frac{R_m + R_o}{2}$

Taula 2: Paràmetres d'un passabanda genèric

Finalment,

Paràmetre	Expressió matemàtica
Amplificació màxima, $ H _{max}$	$\frac{R_o}{R_o + R_m}$
Amplada de banda BW (Hz)	$\frac{1}{2\pi} \cdot \frac{R_m + R_o}{L_m}$
Freqüència de ressonància f_0 (Hz)	$\frac{1}{2\pi} \cdot \frac{1}{\sqrt{L_m C_m}}$

Taula 3: Paràmetres del filtre en funció dels valors dels elements

Determinació de R_m , L_m i C_m a partir de les dades experimentals

PAS 6: Veure figura 3.

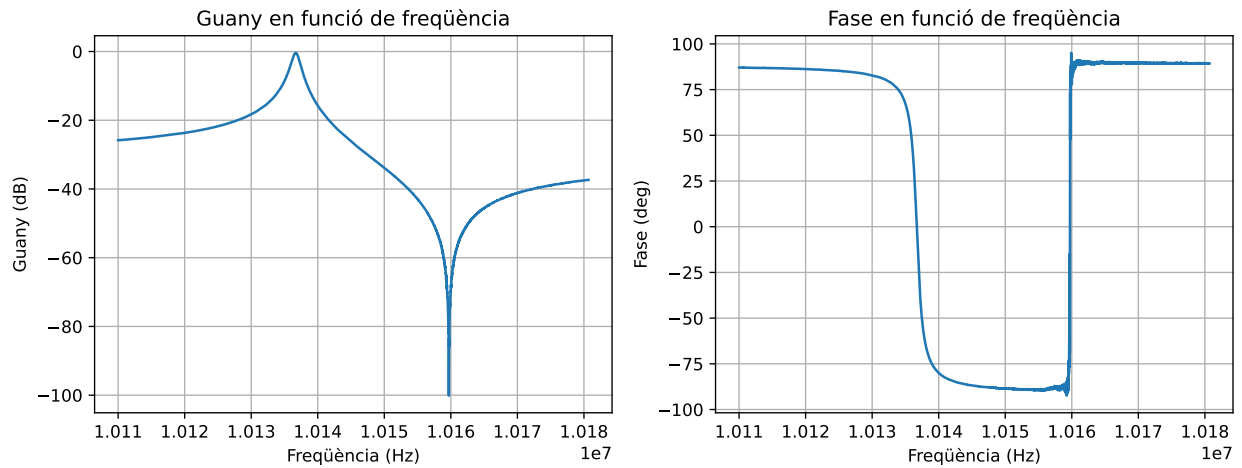


Figura 3: Representació de la resposta freqüencial del circuit de mesura

PAS 7: Busquem a les mesures els valors de f_0 , f_{c1} , f_{c2} i $|H_{max}|$. Després aïllem de les expressions previament deduïdes.

Paràmetre	R_m	L_m	C_m	Q
Expressió aïllada	$\frac{R_o}{ H_{max} } - R_o$	$\frac{R_m + R_o}{2\pi BW}$	$\frac{1}{L_m (2\pi f_0)^2}$	$\frac{f_0}{BW}$

Taula 4: Valors dels components en funció de les mesures i factor de qualitat

Carreguem les dades per cercar els valors desitjats. La eina escollida per dur a terme la operació ha estat Python.

```

1 hmax_idx = modules.argmax()
2 hmax = modules[hmax_idx]
3 Ro = 50
4 Rm = Ro/hmax - Ro
5 fo = freqs[hmax_idx]
6 fc1 = freqs[(np.abs(modules[:hmax_idx] - hmax/np.sqrt(2)))].argmin()
```

```

7  fc2 = freqs[(np.abs(modules[hmax_idx:] - hmax/np.sqrt(2))).argmin()
   ↪ + hmax_idx]
8  BW = fc2 - fc1
9  Lm = (Ro + Rm)/(2 * pi * BW)
10 Cm = 1/( (2 * pi * fo)**2 * Lm )
11 Q = fo/BW

```

En fer `print` dels valors obtenim les següents dades.³

```

1  Rm = 2.309326308199182
2  BW = 1330.0
3  Lm = 0.006259614926132951
4  Cm = 3.938223103179858e-14
5  Q = 7621.571428571428

```

Per obtenir BW_u i Q_u plantejem nodes al circuit de la figura 4 i normalitzem $H(s)$.

$$V_o \left[\frac{1}{R_m} + \frac{1}{L_m s + \frac{1}{C_m s}} \right] = V_{in} \left[\frac{1}{L_m s + \frac{1}{C_m s}} \right]$$

$$H(s) = \frac{\frac{1}{L_m s + \frac{1}{C_m s}}}{\frac{1}{R_m} + \frac{1}{L_m s + \frac{1}{C_m s}}}$$

$$H(s) = \frac{R_m}{L_m} \cdot \frac{s}{s^2 + \frac{R_m}{L_m} s + \frac{1}{C_m L_m}}$$

D'aquesta manera es pot veure que $BW_u = \frac{R_m}{L_m}$ i que $Q_u = \frac{\omega_0}{BW_u} = \frac{1}{BW_u \sqrt{L_m C_m}}$. Ho calculem i queda.

```

1  BWu = Rm/Lm
2  Qu = 1/(BWu * np.sqrt(Lm * Cm))

```

```

1  BWu = 368.9246599751835
2  Qu = 172638.7758295109

```

Determinació de C_e

PAS 8: La freqüència f_1 a la qual es produeix la segona ressonància està situada al segon pic (el negatiu) de la gràfica de la figura 3. És una freqüència de ressonància perquè la fase és nula, i és negativa perquè la impedància del cristall és molt alta. Tal i com s'ha raonat anteriorment.

El valor de f_1 rondarà els 10.16 MHz.

³ Els càlculs estan fets amb unitats del sistema internacional

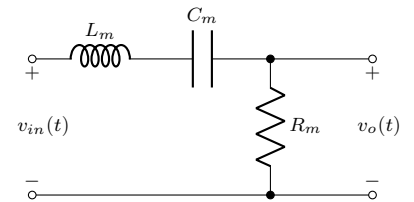


Figura 4: Circuit equivalent del cristall connectat a una font ideal

Per conèixer el valor de la impedància i la admitància amb exactitud executem les següents línies de codi.

```
1 f1 = freqs[modules.argmax()]
2 Zs = Rm + 1j*(Lm * f1 * 2*pi - 1/(Cm * f1 * 2*pi))
3 Ys = 1/Zs
4 Rp = 1/(Ys.real)
5 Lp = -1/(Ys.imag * f1 * 2*pi)
```

```
1 f1 = 10159700.0
2 Zs = (2.309326308199182+1807.9317002811003j)
3 Ys = (7.065136469458759e-07-0.0005531173374934277j)
4 Rp = 1415400.8267537504
5 Lp = 2.8321873317442023e-05
```

Aquesta admitància ens indica que el conjunt pot ser expressat com es mostra a la figura 1, on $L_p \simeq 28.32 \mu\text{H}$ i $R_p \simeq 1.41 \text{ M}\Omega$.

Com per f_1 hi ha ressonància, sabem que en aquesta configuració la admitància del inductor L_p i el condensador C_e han de sumar 0.

$$\Im(Y_s) + C_e(2\pi f_1) = 0$$

$$C_e = \frac{-\Im(Y_s)}{2\pi f_1}$$

En codi

```
1 Ce = -(Ys.imag)/(2*pi * f1)
```

```
1 Ce = 8.66475962596407e-12
```

La taula 5 és la recopilació de totes les dades obtingudes.

Paràmetre	Valor mesurat	Element	Valor calculat
$ H_{max} $	0.9558	R_m	2.309Ω
BW	1330 Hz	L_m	6.259 mH
f_0	10.136 MHz	C_m	0.039 38 pF
f_1	10.160 MHz	C_e	8.664 pF
Paràmetre	Valor calculat		
Q	7621		
Q_u	172 638		

Taula 5: Deducció dels valors del model del cristall

Validació de resultats

PAS 9: El resultat es troba a la figura 5. Es pot apreciar un cert desfasament entre les respostes. Això és degut en major part a imprecisió a l'hora de entrar els valors dels components al simulador. Tret d'aquest detall el model funciona practicamente igual entre les freqüències desitjades que el quars.

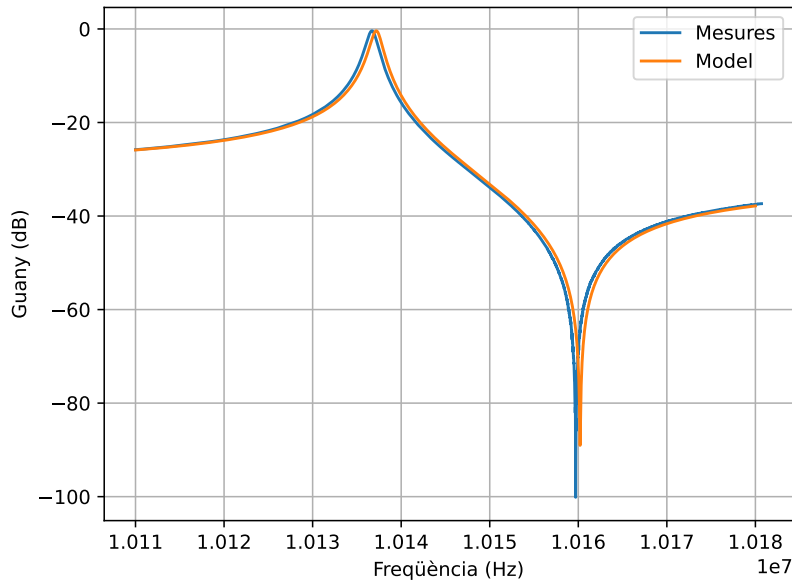


Figura 5: Dades simulades sobre dades mesurades

Aplicació al filtrat de senyals

PAS 10: Normalment s'hauria de calcular les integrals corresponents per obtenir els coeficients de Fourier, de tota manera també podem observar el següent.⁴

$$\begin{aligned} v_g(t) &= 6 \cdot \cos^2(2\pi f_x t) \\ &= 6 \left(\frac{1 + \cos(2(2\pi f_x t))}{2} \right) \\ &= 3 + 3 \cos(4\pi f_x t) \end{aligned}$$

Aquesta última expressió ja és una combinació lineal de cosinus. Per tant, equival al seu desenvolupament de Fourier.

PAS 11: Per $f_x = \frac{f_o}{2}$, $v_g(t) = 3 + 3 \cos(2\pi f_o t)$. La component continua serà gairebé completament eliminada pel filtre, d'altra banda, el cosinus no serà gaire atenuat i gens desfasat.⁵

⁴ El raonament fa us de la famosa formula $\cos^2(x) = \frac{1 + \cos(2x)}{2}$

⁵ Com la freqüència del cosinus és la de ressonància la fase que aporta el filtre es nula. La atenuació es notable pero baixa.

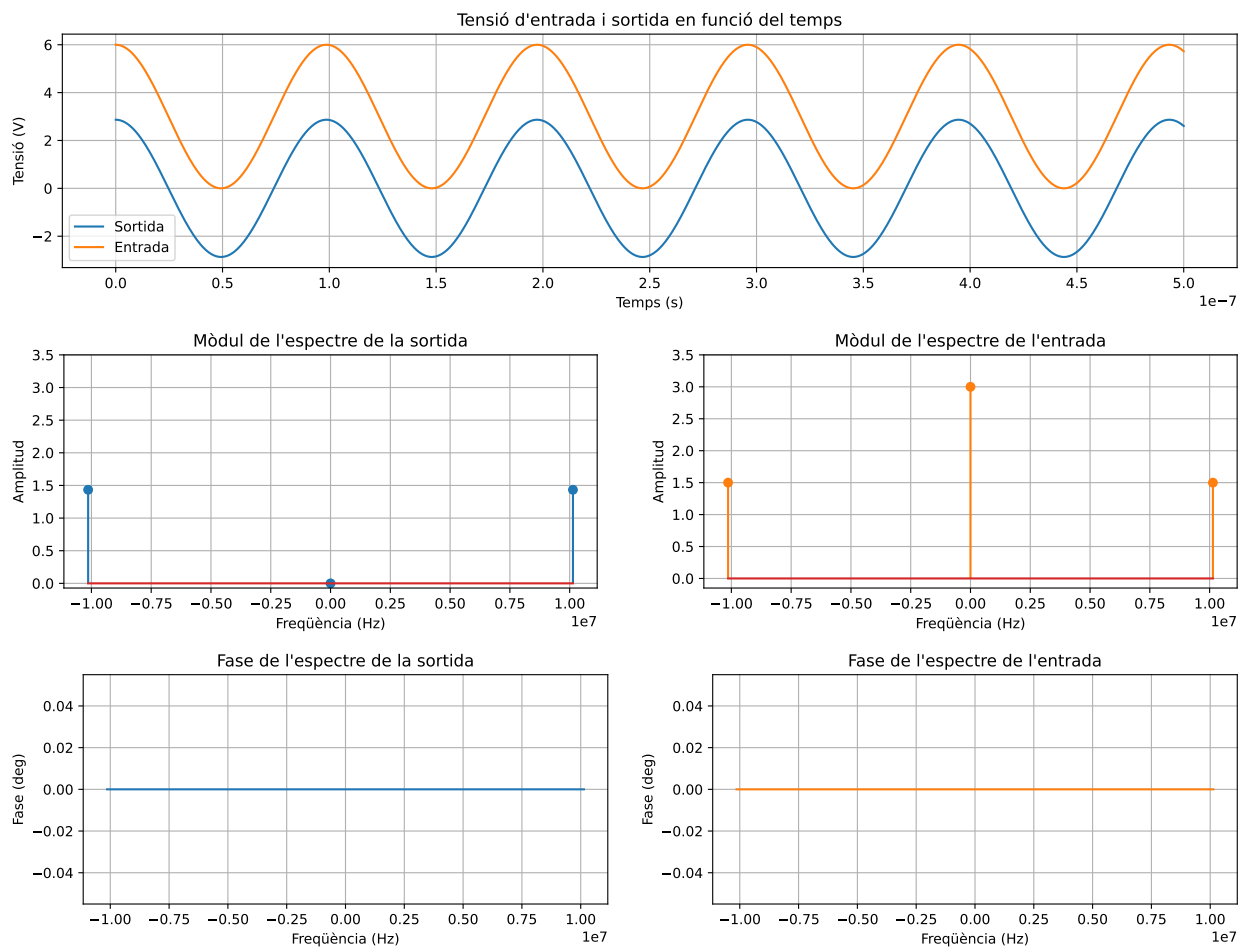


Figura 6: Anàlisi de l'entrada v_g i la sortida del filtre